

Figura 6.64 Trayectoria de carga isotrópica (A→B) a succión constante. Ensayo de compresión triaxial IS – NC – 12.

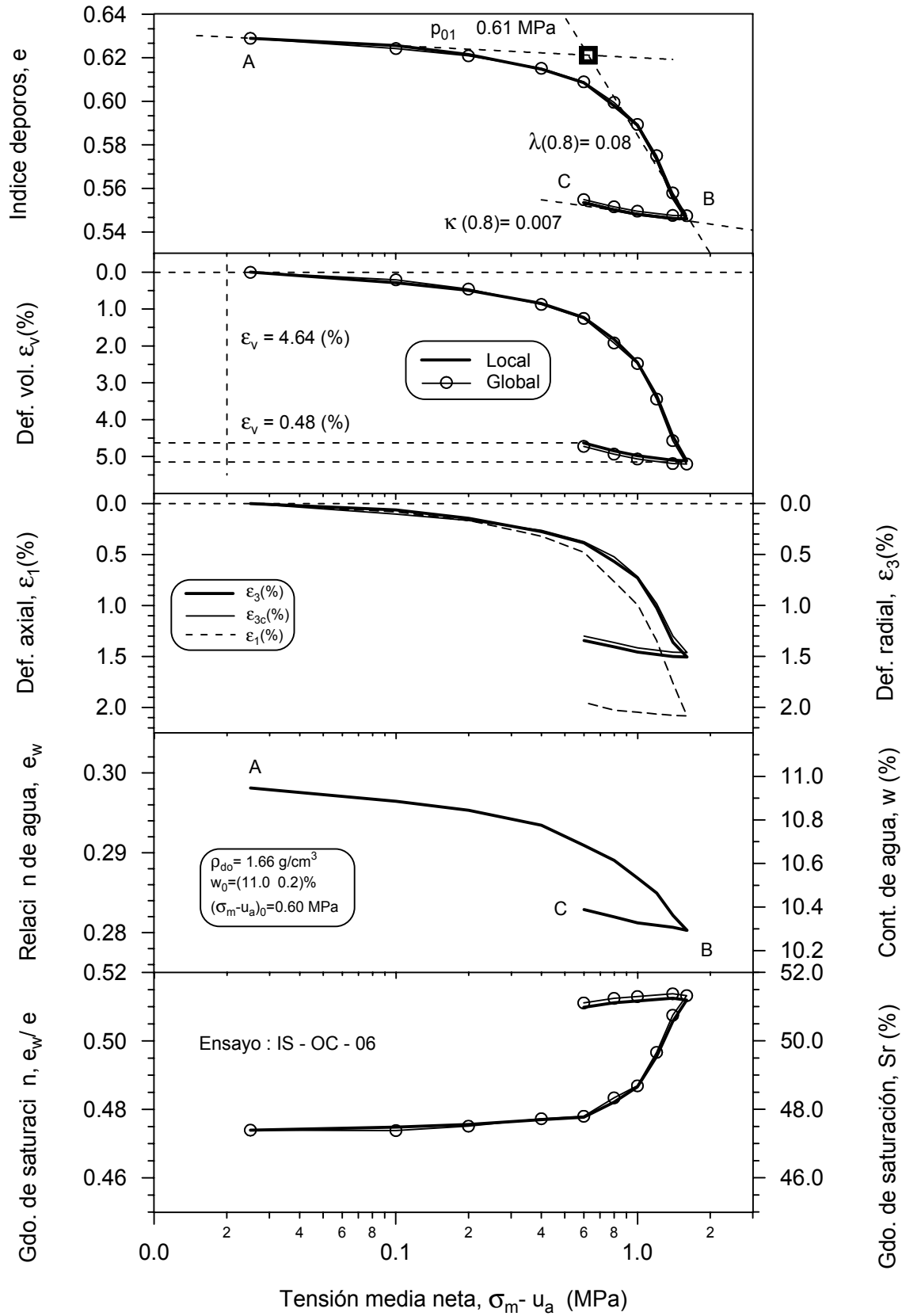


Figura 6.65 Ciclo de carga–descarga isotrópica (A→B→C) a succión constante. Ensayo de compresión triaxial IS – OC – 06.

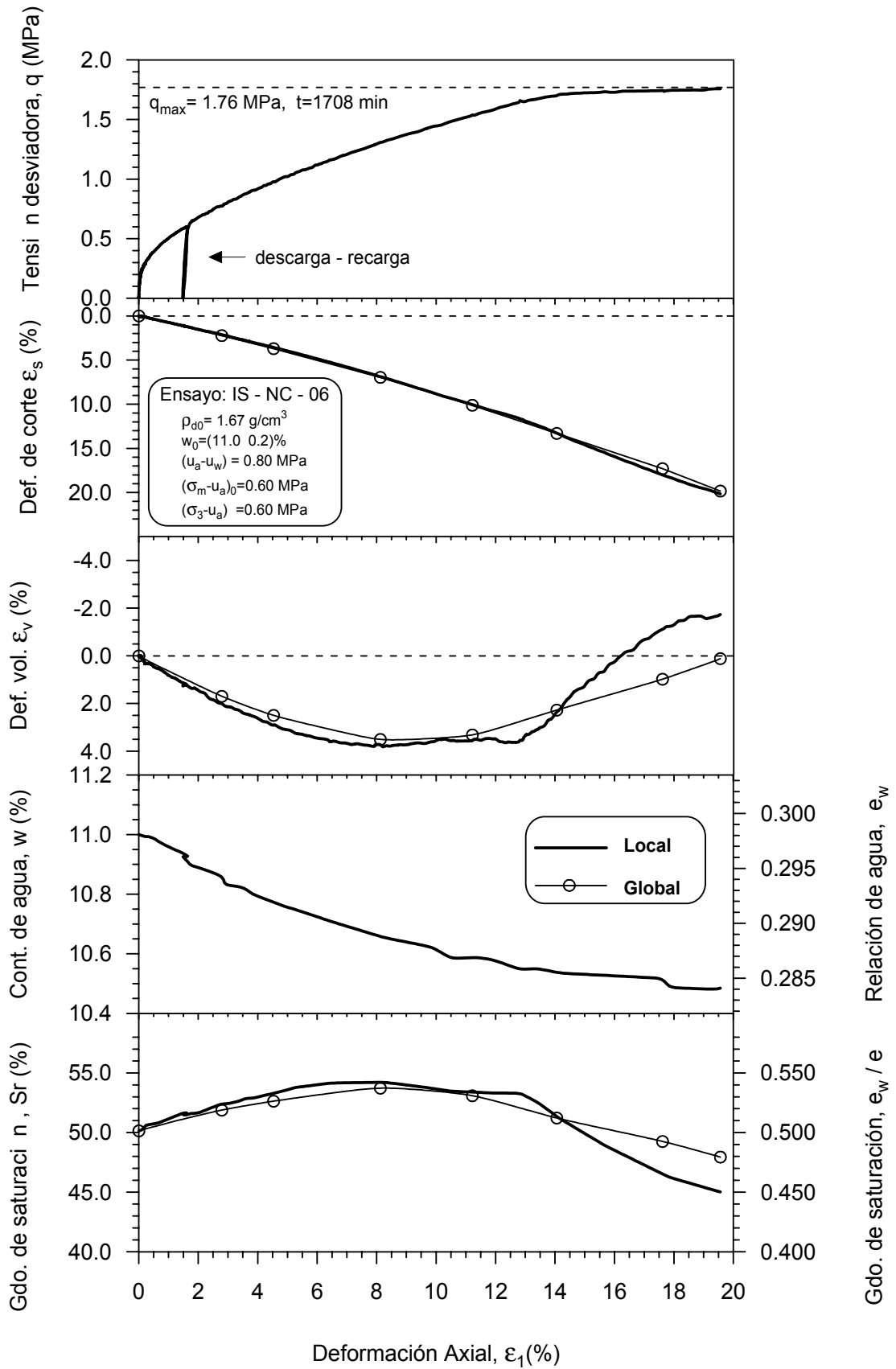


Figura 6.66 Variación de la tensión desviadora, deformación volumétrica y de corte, contenido de agua y grados de saturación con respecto a la deformación axial. Ensayo IS – NC – 06.

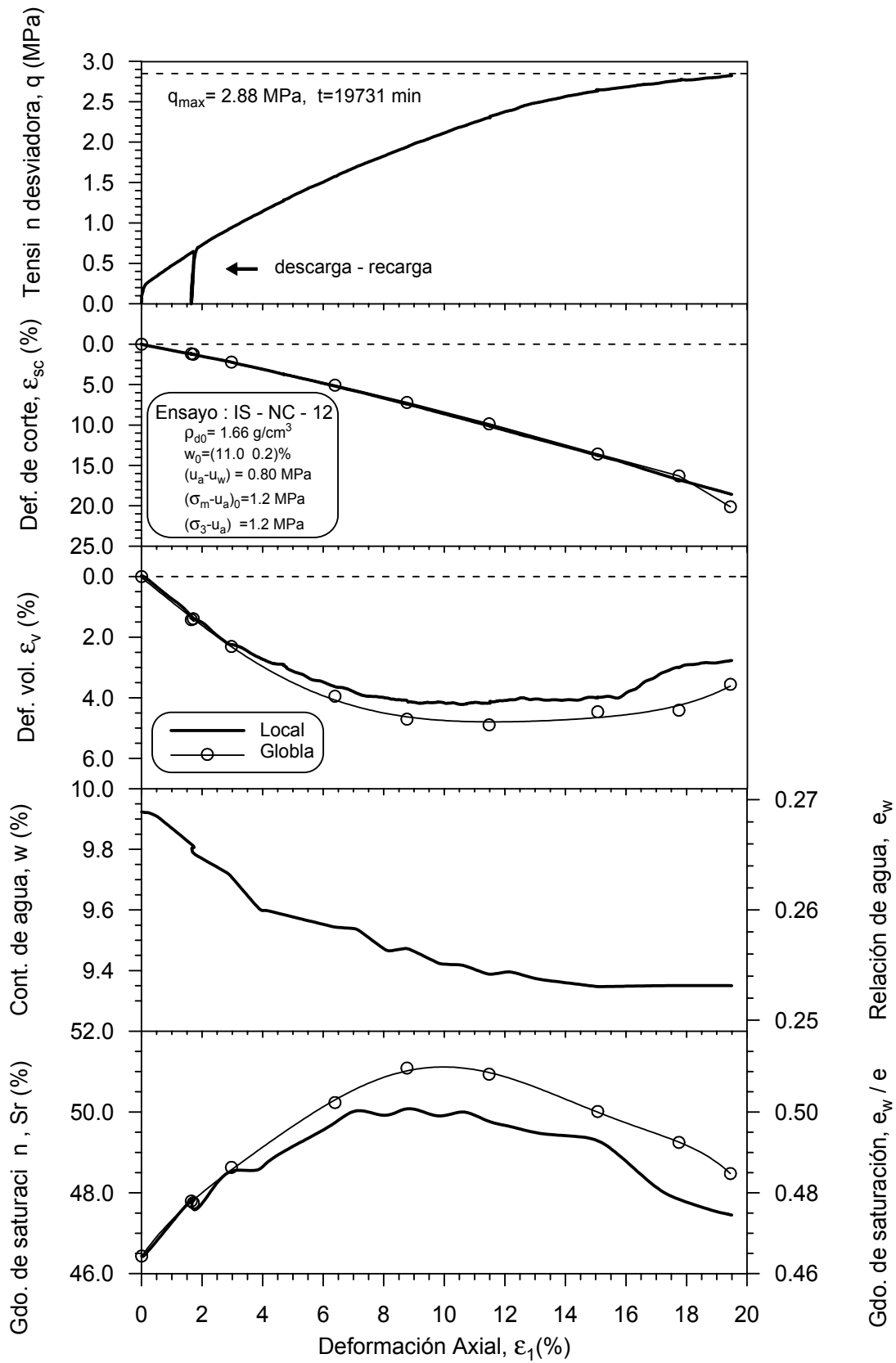


Figura 6.67 Variación de la tensión desviadora, deformación volumétrica y de corte, contenido de agua y grados de saturación con respecto a la deformación axial. Ensayo IS – NC – 12.

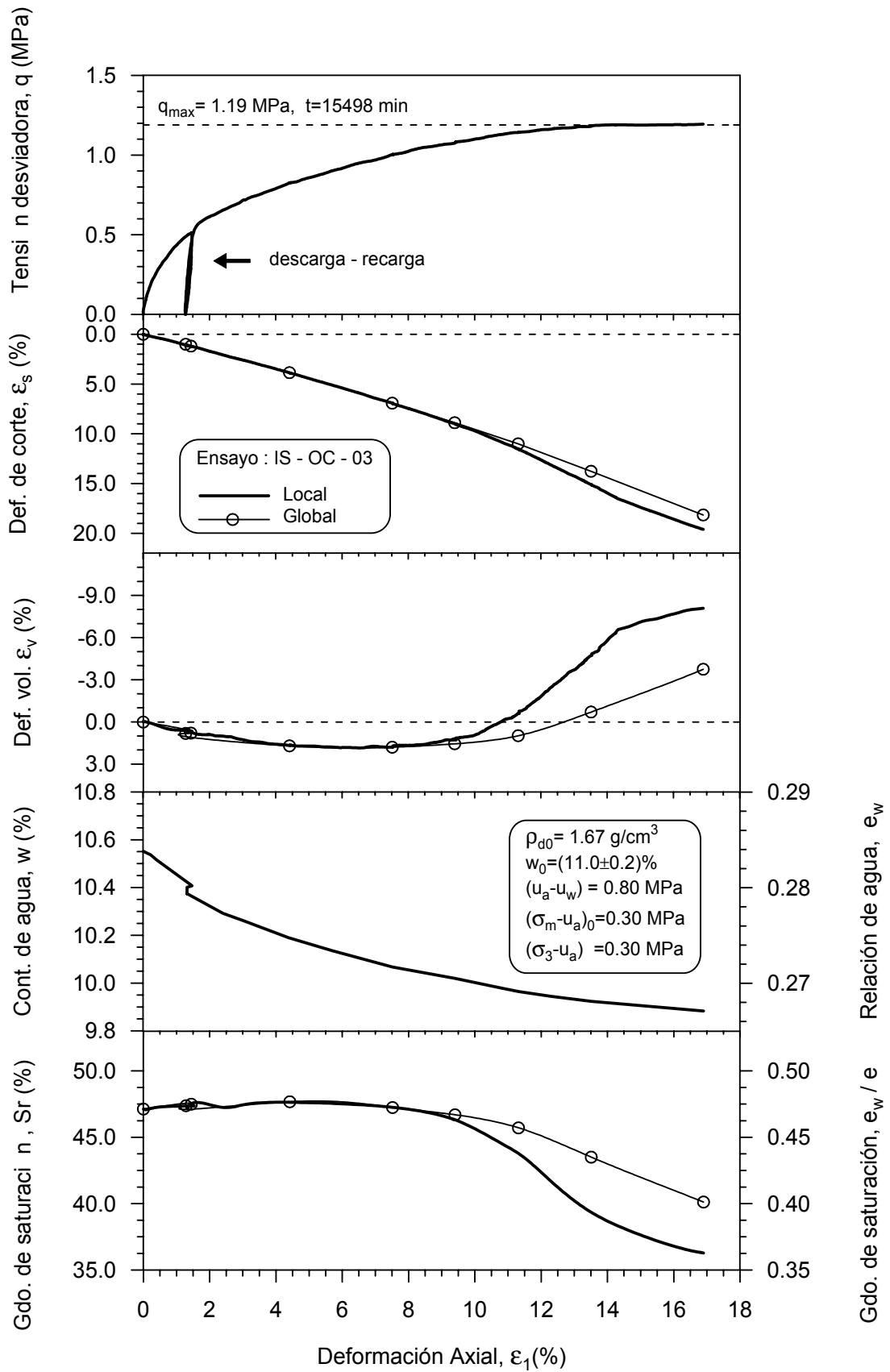


Figura 6.68 Variación de la tensión desviadora, deformación volumétrica y de corte, contenido de agua y grados de saturación con respecto a la deformación axial. Ensayo IS – OC – 03.

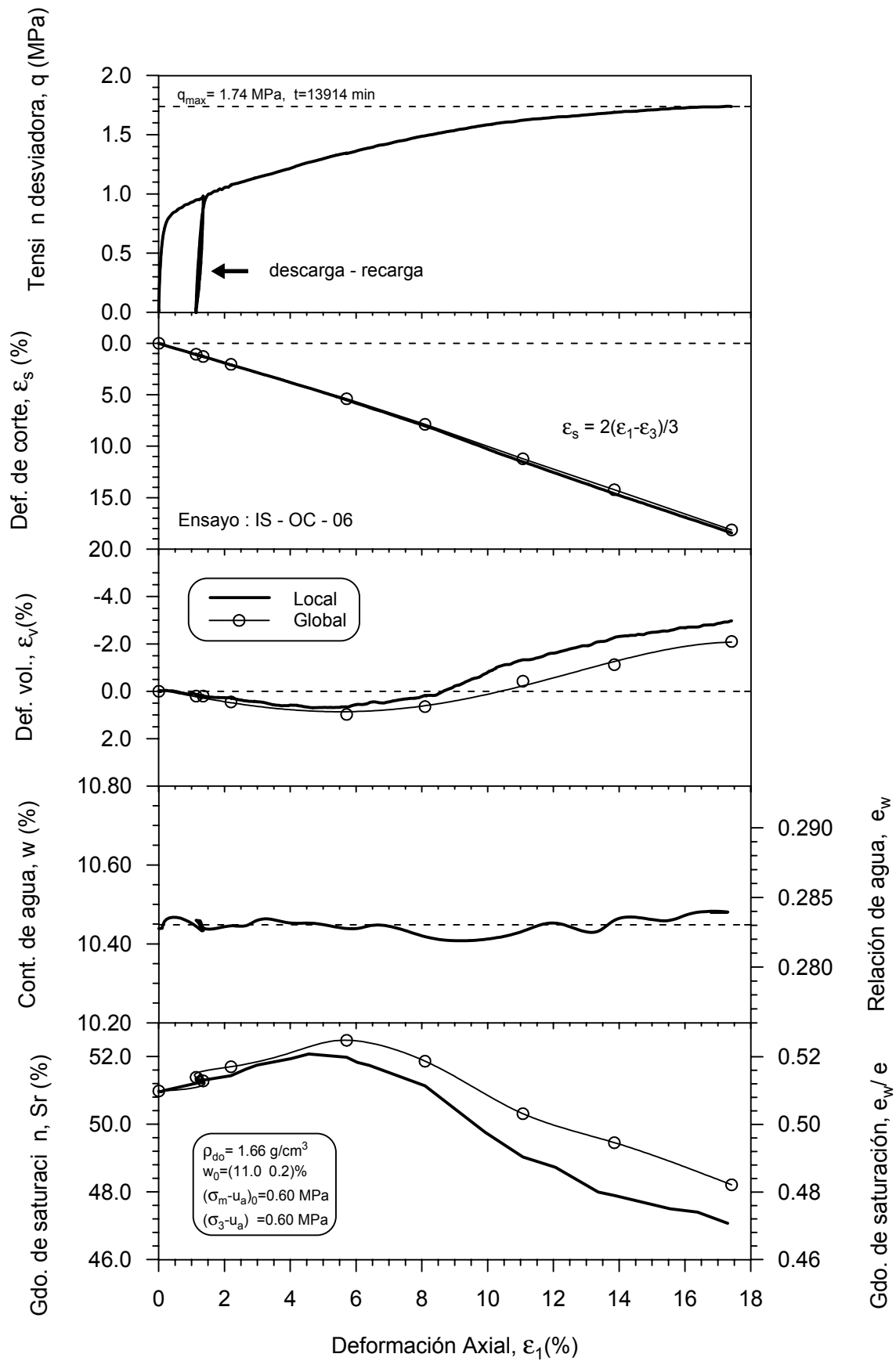


Figura 6.69 Variación de la tensión desviadora, deformación volumétrica y de corte, contenido de agua y grados de saturación con respecto a la deformación axial. Ensayo IS – OC – 06.

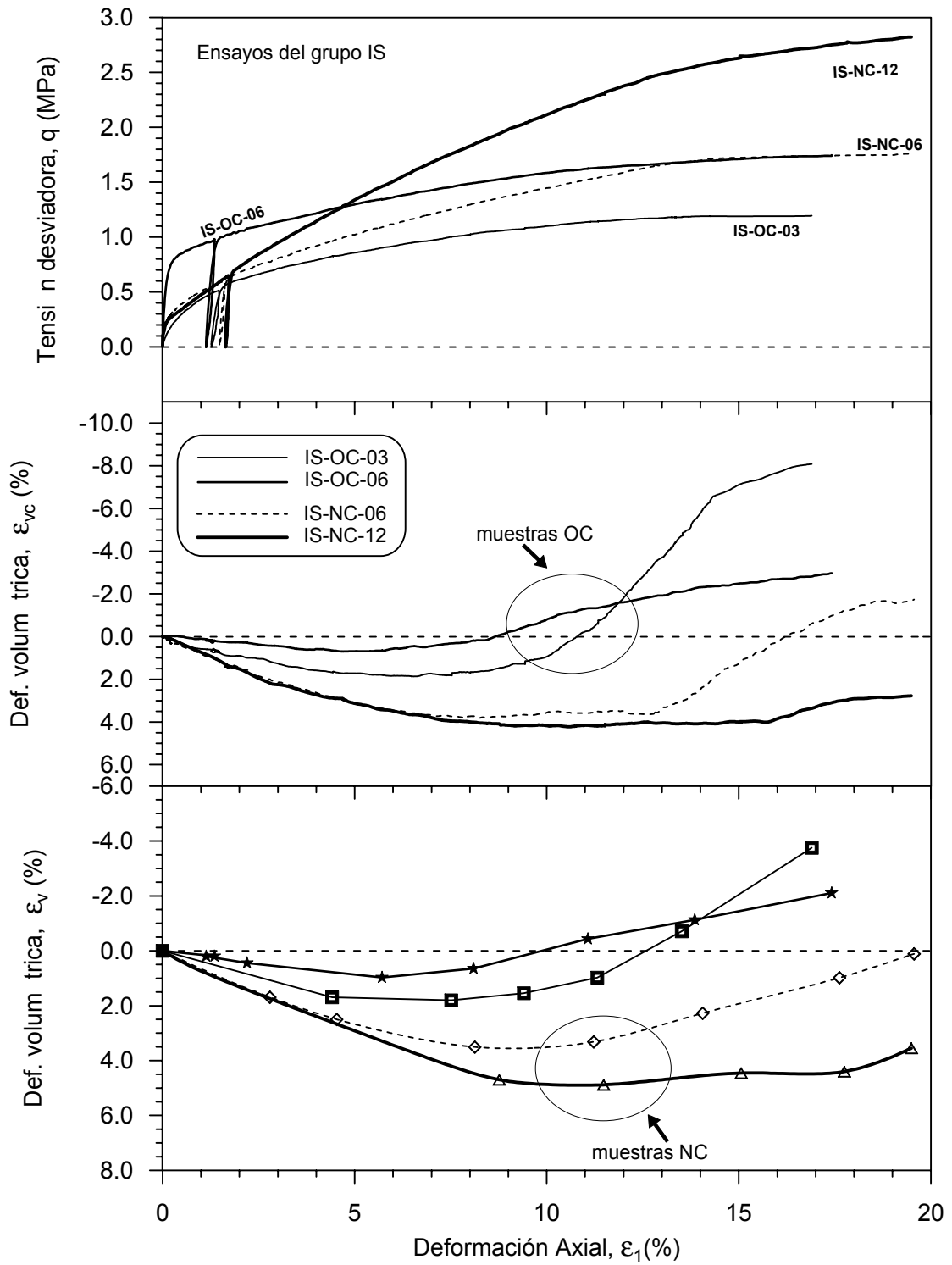


Figura 6.70 Variación de la tensión desviadora, deformación volumétrica local y global de los ensayos del grupo IS, en muestras sobreconsolidadas y normalmente consolidadas.

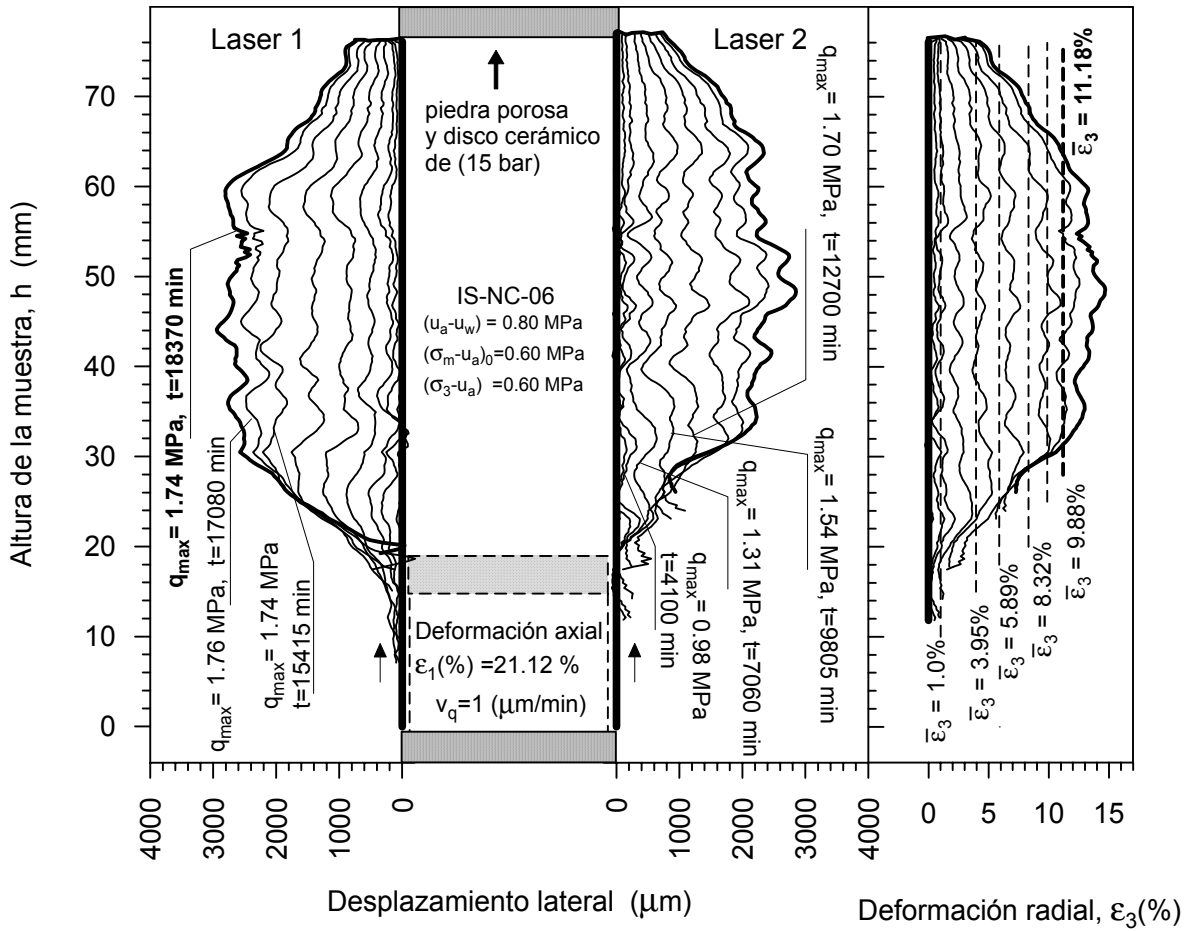


Figura 6.71 Perfil de las deformaciones laterales en la etapa de rotura bajo succión constante ($s = 0.8 \text{ MPa}$) del ensayo IS – NC – 06.

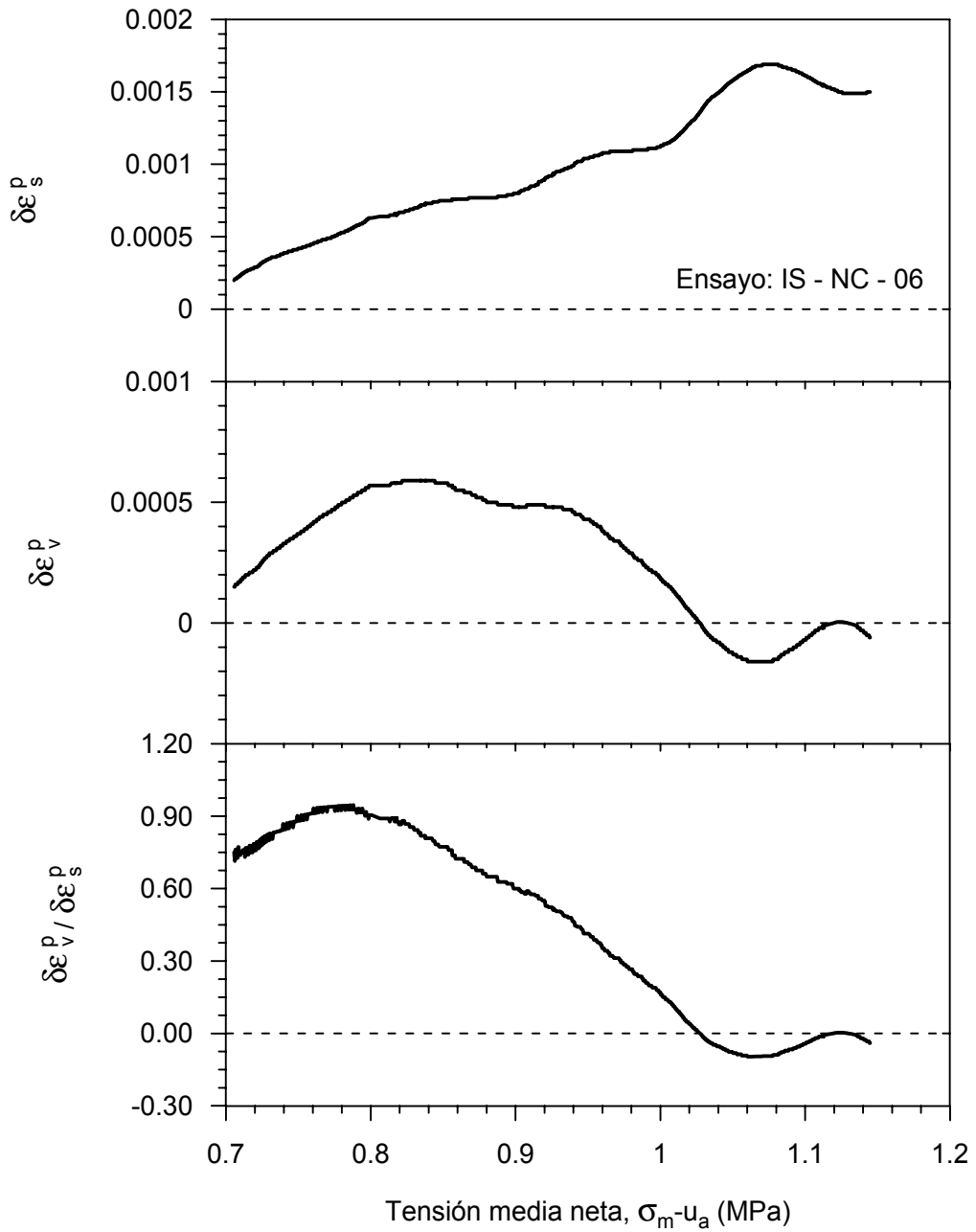


Figura 6.72 Variación en la dirección del incremento de las deformaciones plásticas como una función de p para $\delta q / \delta p = 3$ y $s = 0.8$ MPa. Ensayo IS – NC – 06.

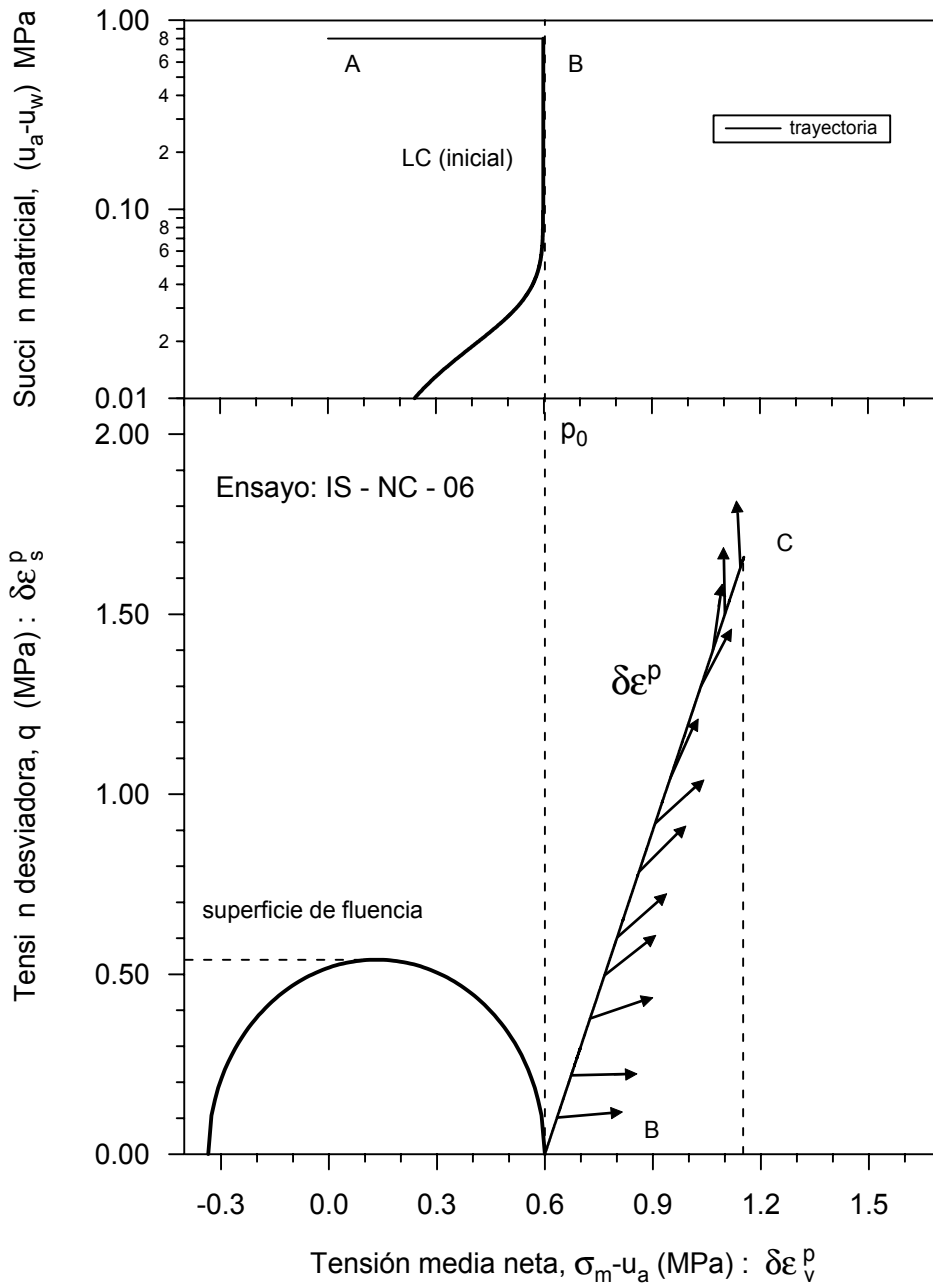


Figura 6.73 Superficie de fluencia inicial a $s = 0.8$ MPa, trayectoria de tensiones y vectores que nos indican la dirección de los incrementos de las deformaciones plásticas durante la etapa de corte. Ensayo IS – NC – 06.

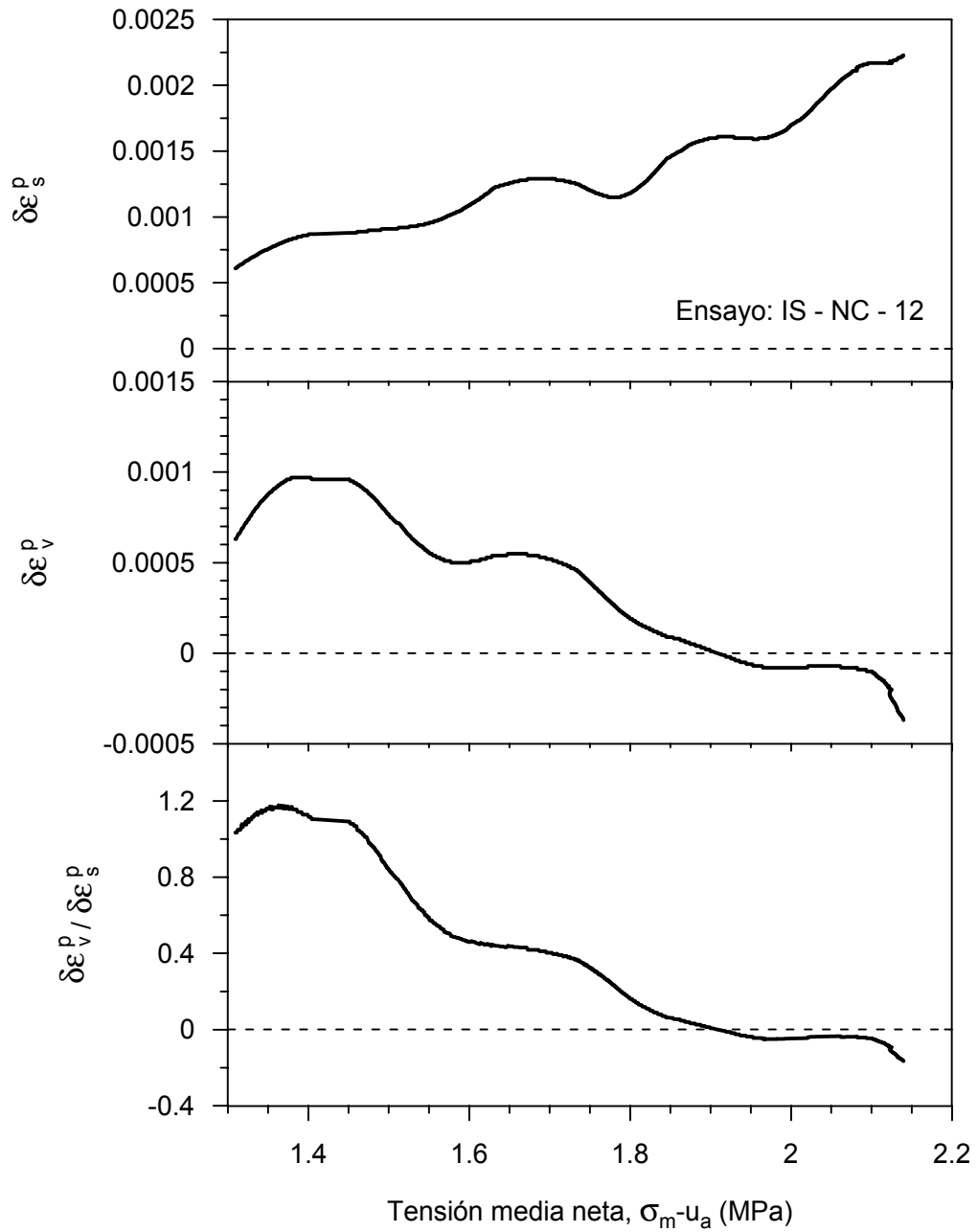


Figura 6.74 Variación en la dirección del incremento de las deformaciones plásticas como una función de p para $\delta q / \delta p = 3$ y $s = 0.8$ MPa. Ensayo IS – NC – 12.

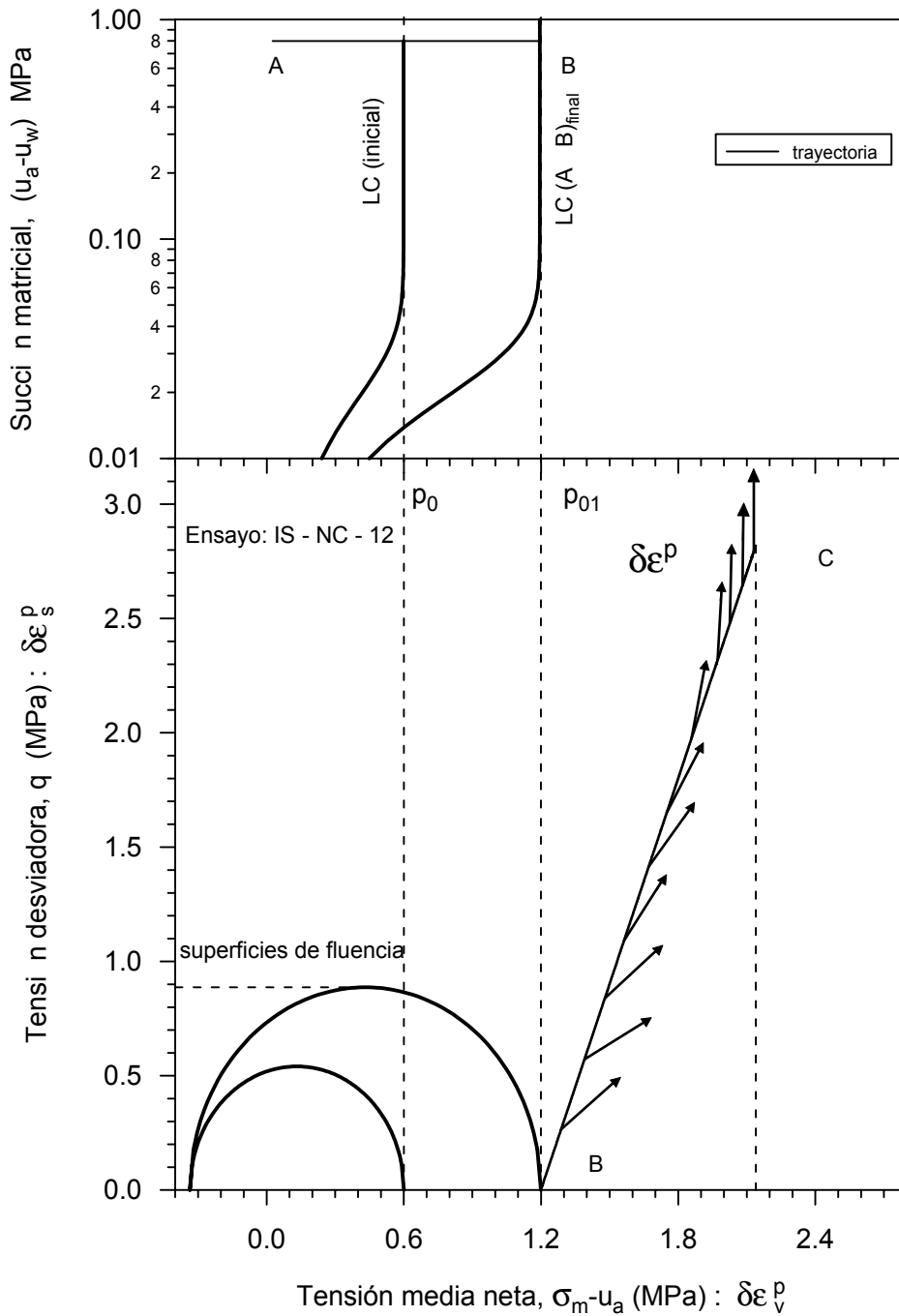


Figura 6.75 Desplazamiento de la superficie de fluencia inicial a $s = 0.8$ MPa, trayectoria de tensiones y vectores que nos indican la dirección de los incrementos de las deformaciones plásticas durante la etapa de corte. Ensayo IS – NC – 12.

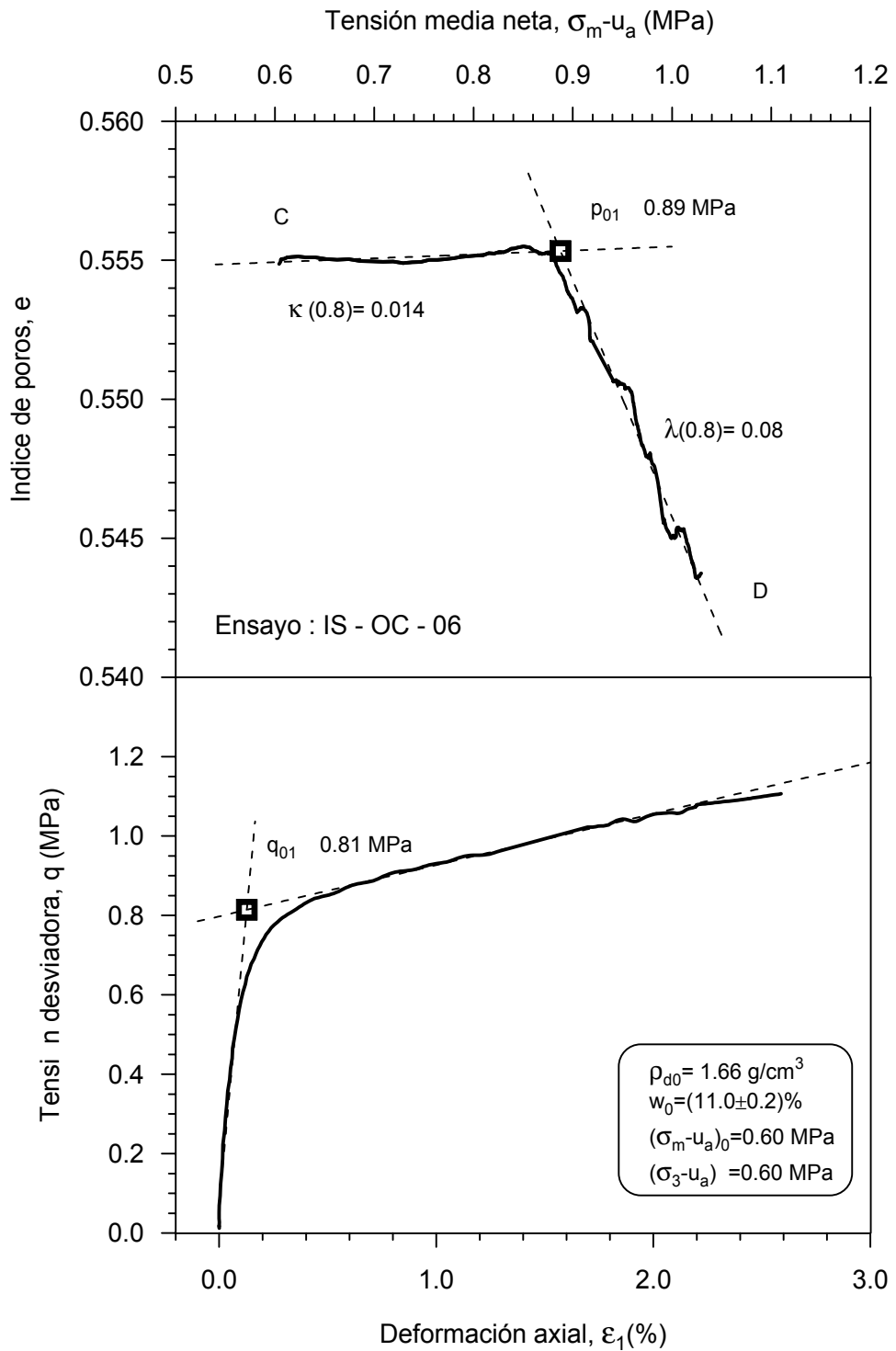


Figura 6.76 Determinación del punto de fluencia entre las deformaciones elásticas y plásticas en la etapa de corte. Ensayo IS – OC – 06.

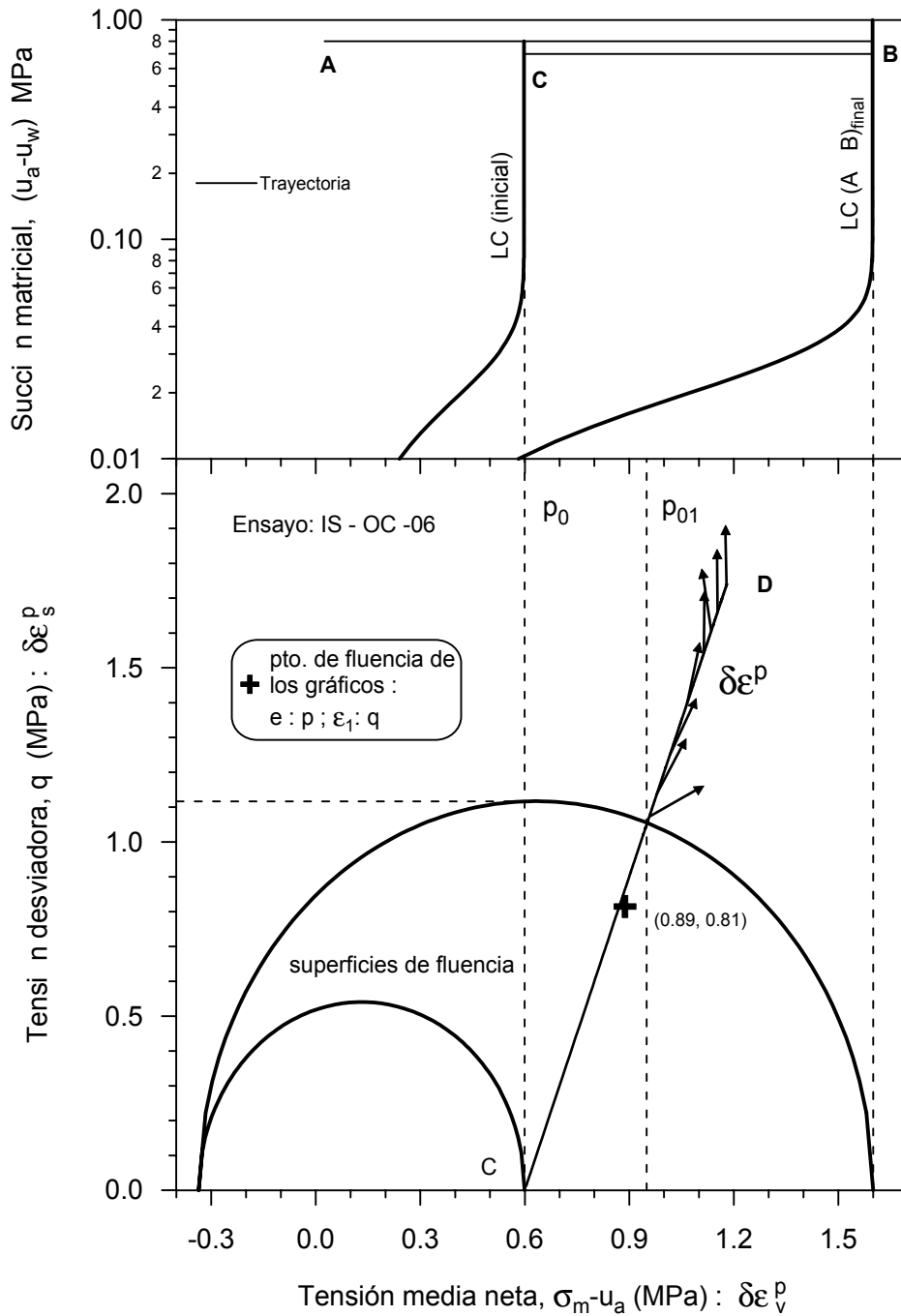


Figura 6.77 Desplazamiento de la superficie de fluencia inicial a $s = 0.8$ MPa, trayectoria de tensiones y vectores que nos indican la dirección de los incrementos de las deformaciones plásticas durante la etapa de corte. Ensayo IS – OC – 06.

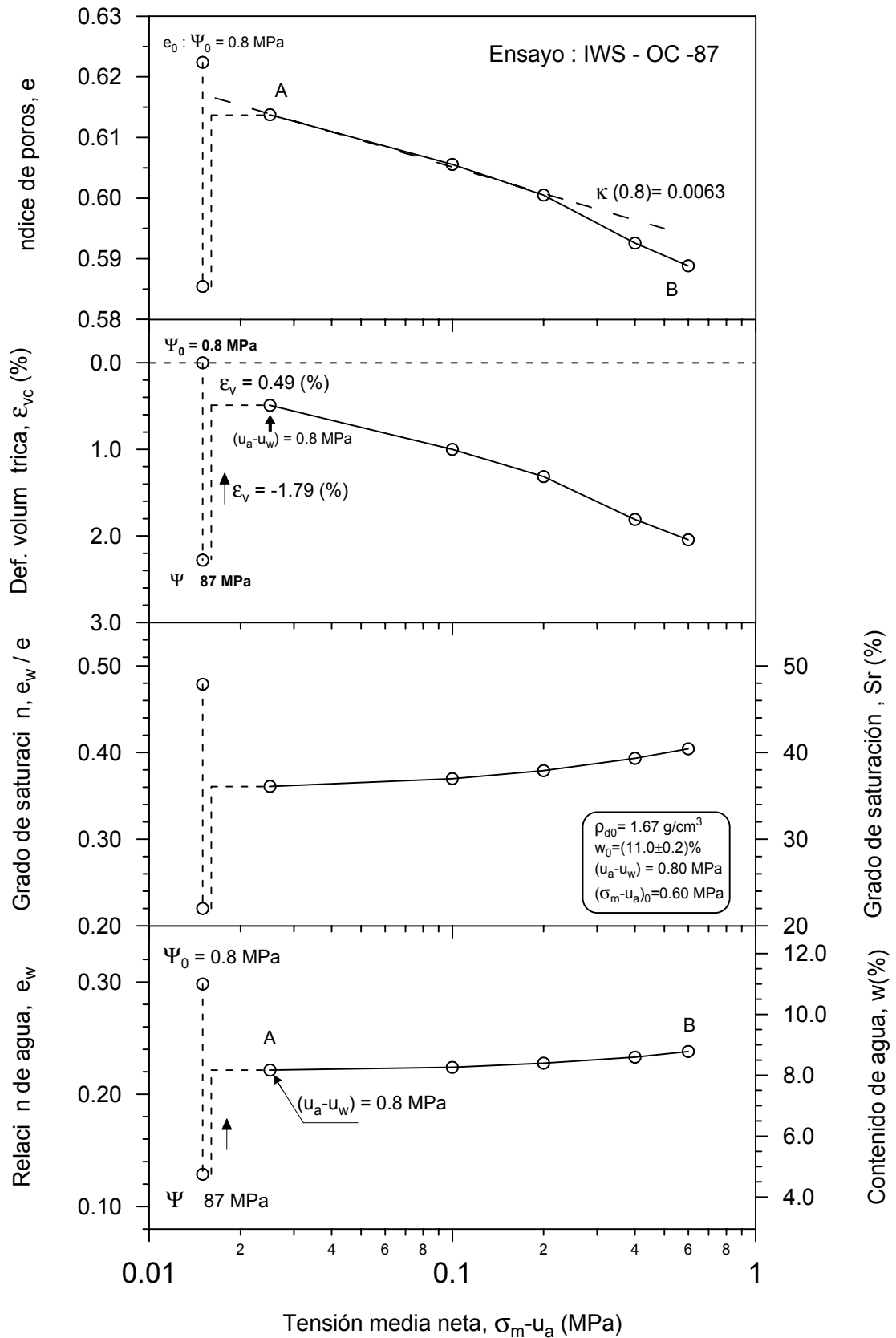


Figura 6.78 Deformación volumétrica en una trayectoria de secado a una succión total ($\Psi = 87$ MPa). Trayectoria de carga isotrópica (A→B) a succión matricial constante ($u_a - u_w = 0.8$ MPa). Ensayo de compresión triaxial IS – NC – 12.

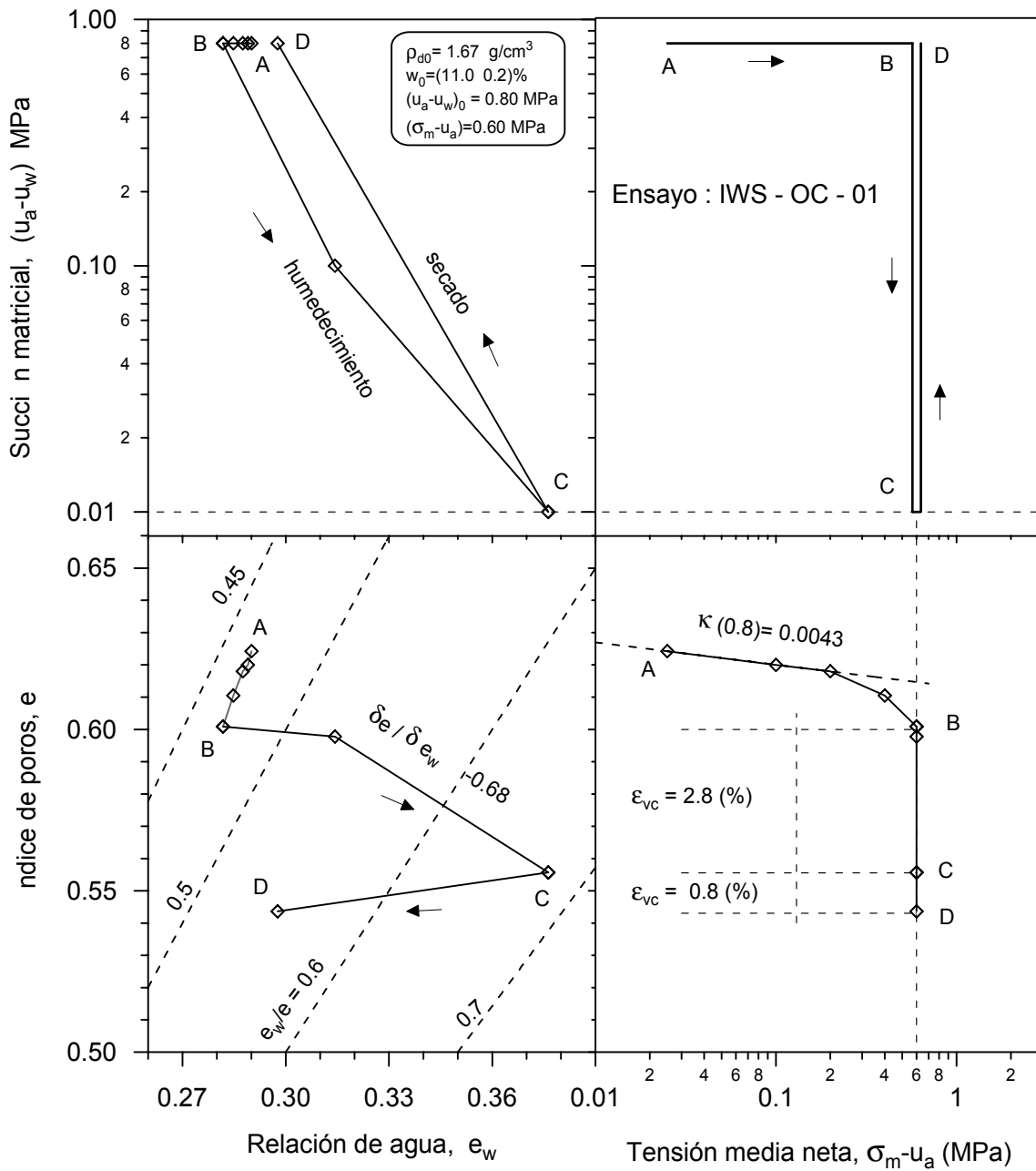


Figura 6.79 Resultados de compresión triaxial obtenidos con la célula triaxial representados en los planos $s : (\sigma_m - u_a) : e_w : e$. Trayectoria de carga isotrópica (A-B) y ciclo de humedecimiento – secado (B-C-D). Ensayo IWS – OC – 01.

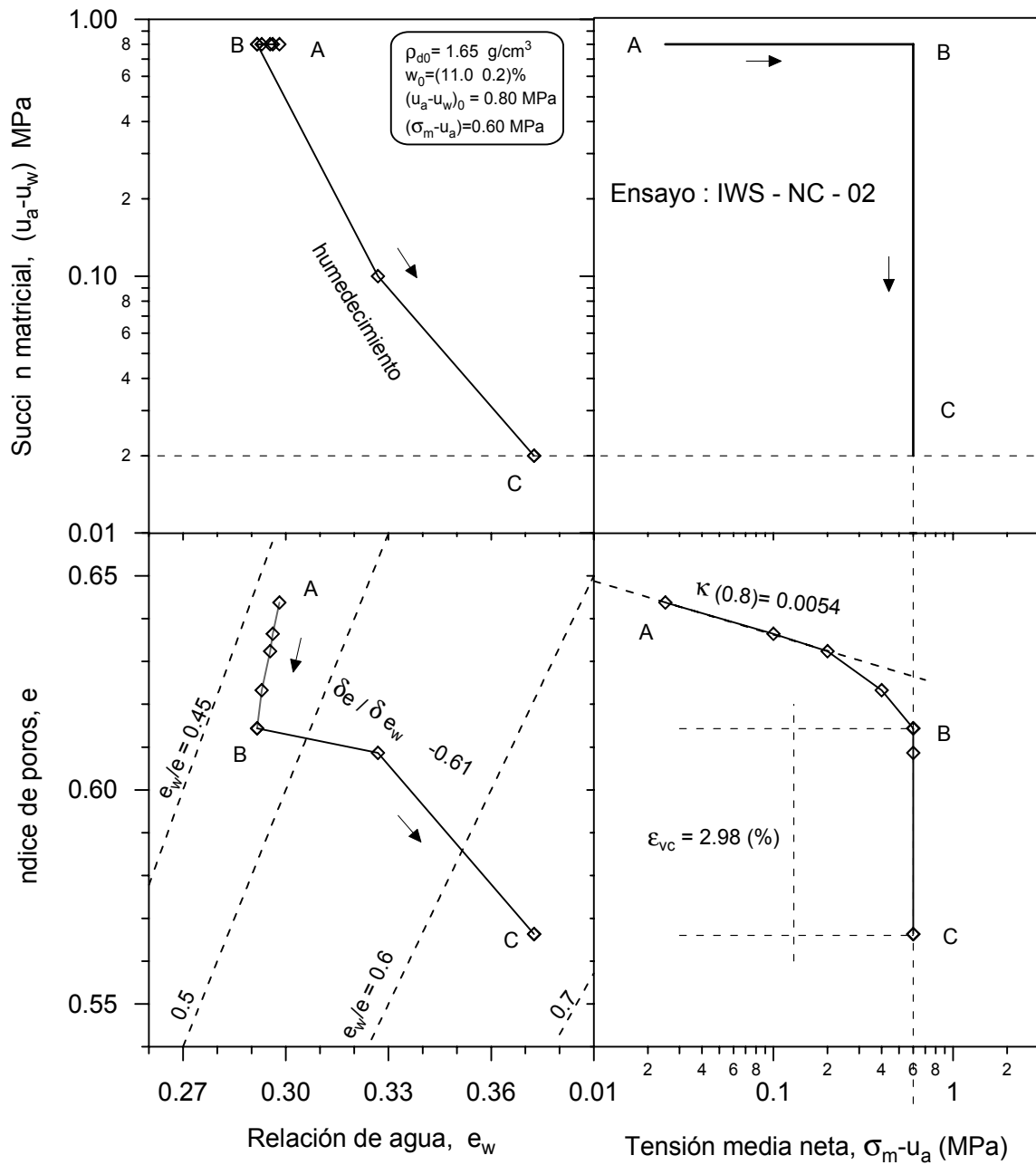


Figura 6.80 Resultados de compresión triaxial obtenidos con la célula triaxial representados en los planos $s : (\sigma_m - u_a) : e_w : e$. Trayectoria de carga isotrópica (A-B) y de humedecimiento (B-C). Ensayo IWS – NC – 02.

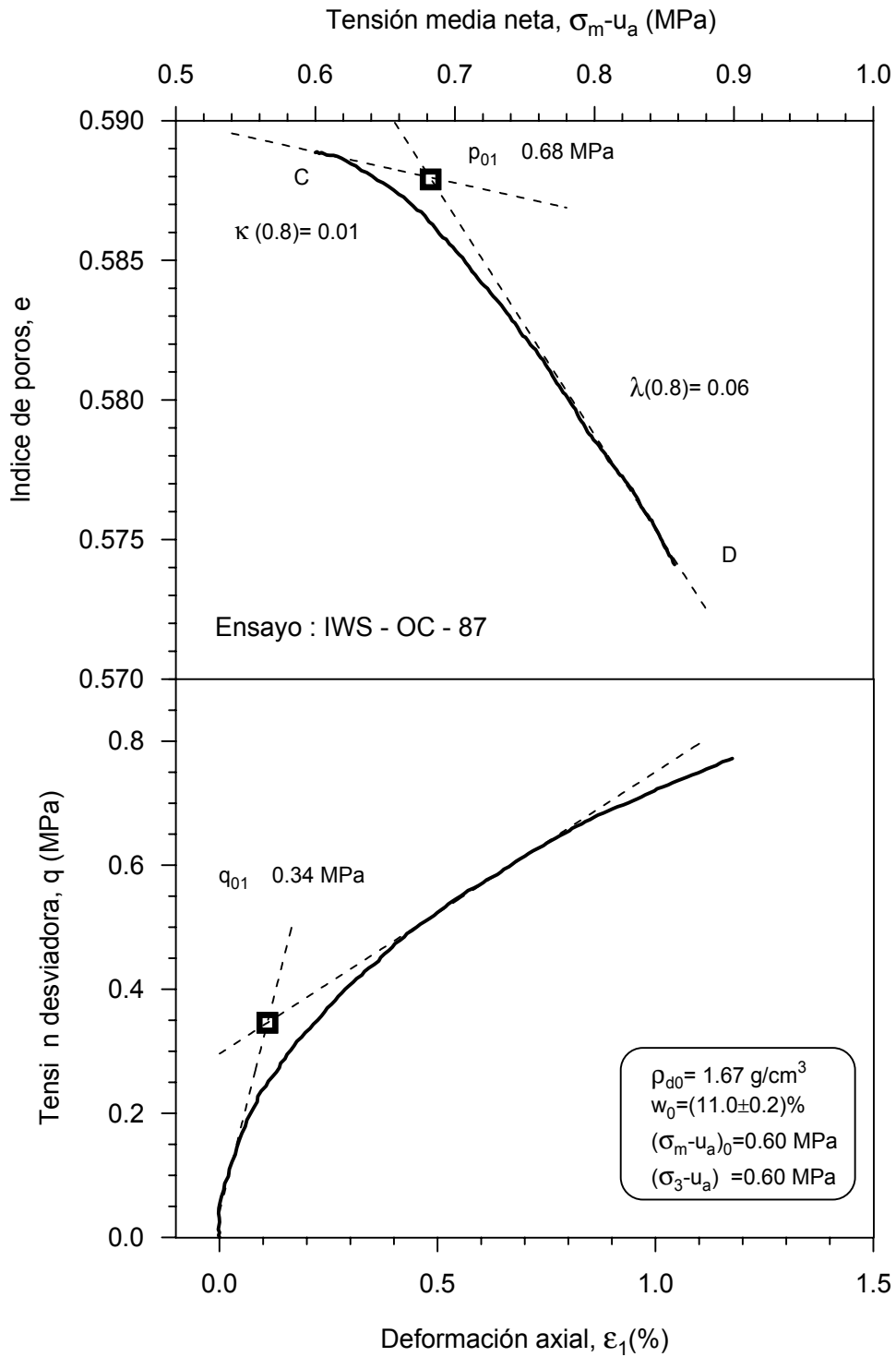


Figura 6.81a Determinación del punto de fluencia entre las deformaciones elásticas y plásticas en la etapa de corte. Ensayo IWS – OC – 87.